

# トポロジカル一致を応用した グリッドプレートの解析

北海道大学 工学部 正員 能町 純雄  
 室蘭工業大学 正員 松岡 健一  
 室蘭工業大学 大学院 ○学生員 高橋 松範

## 1 まえがき

幾つかの任意の構造物を考へ、二つの構造物間の位相の不変量を

- (i) 格架数
- (ii) 対応格架の自由度
- (iii) 対応格架の相対的位置

のひとつとし、格架間距離、断面特性、材料特性を含むものとする。

二つの不変量が一致する構造物を、互いにトポロジカル一致を有する構造物とする。

このトポロジカル一致を有する構造物について、一方の構造物で実際の解析演算を行ない、他方の構造物で各格架の力の釣り合ひを check しながら後者の構造物を解析するものである。

本解析法によると、irregularな形状を有するものでも、一方の構造物に極めて regular もとのを運ぶことがあり、二の様な regular な構造物を解析することに帰着する。

本報告は、グリッドプレートを解析対象構造物とし、本解析法の有効性を示すものである。

## 2 解析理論

### 2-1 トポロジカル一致を有する構造物間の關係

解析の対象とする構造物 (Object structure と呼ぶ)、互いにトポロジカル一致を有する構造物 (Model structure と呼ぶ) について、それが他の剛性エッジクスを  $B_0, B_M$ 、変位ベクトルを  $\bar{U}_0, \bar{U}_M$ 、とし、荷重ベクトルを  $P$ 、とすると、両構造物間に以下式が成り立つ。

$$B_M \bar{U}_M = P \quad (1)$$

$$B_0 \bar{U}_0 = P \quad (2)$$

ここで  $B_0 = B_M + B'$  とかけられ、(1), (2) の左から  $B_M^{-1}$  を作用させると、(1), (2) はそれぞれ

$$\bar{U}_M = B_M^{-1} P \quad (1')$$

$$B_M^{-1} (B_M + B') \bar{U}_0 = \bar{U}_0 + B_M^{-1} B' \bar{U}_0 = B_M^{-1} P \quad (2')$$

更に  $B_M^{-1} B' = C$  とかくと、(1)', (2)'より (2)'は

$$\bar{U}_0 + C \bar{U}_0 = \bar{U}_M \quad (3)$$

となり、 $\bar{U}_0$  は逐次計算法により次式の様に求められる。

$$\bar{U}_0 = \bar{U}_M - C \bar{U}_M + C^2 \bar{U}_M - \dots = \sum_{p=0}^{\infty} (-C)^p \bar{U}_M \quad (4)$$

この級数が収束するこより解が求まる。

則ち、(2)の  $\bar{U}_0$  と  $\bar{U}_M$  を代入すると、

$$B_M \bar{U}_M = B_M \bar{U}_M + B' \bar{U}_M = P + B' \bar{U}_M \quad (5)$$

(5)の左辺の  $B' \bar{U}_M$  が Residual で、この Residual が Model structure に作用させ、変位  $\bar{U}_M'$  を求めると、

$$B_M \bar{U}_M' = B' \bar{U}_M \quad i.e. \quad \bar{U}_M' = C \bar{U}_M \quad (6)$$

(6)は(4)の次の項に相当するもので、上記操作を繰返すことにより各項が求まる。

## 2-2 収束条件

(4)が収束する条件は次式で与えられる。

$$0 < \frac{\max_i \left( \sum_{k=1}^n |b_{ik}^0| \right)}{\max_i \left( \sum_{k=1}^m |b_{ik}^0| \right)} < 2 \quad (7)$$

ここで  $b_{ik}^0, b_{ik}^M$  は、前述の  $B_0, B_M$  の要素

(7)の意味は、各釣り合式  $K$  から、係数の絶対値の和の最大値の比が 0 と 2 の間にあることである。

## 2-3 クリッドフレートの解式

Fig. 1 の格子  $(x, y)$  において、 $x, y$  方向のモーメントの釣り合ひ及び、せん断力の釣り合ひをとり、差分表示すると、

$$-B_2 \Delta_x^2 \theta_{x,y} + 2K_1 (6\theta_{xy} + \Delta_x^2 \theta_{x-1,y} - \frac{3}{\lambda_x} \Delta_x \delta_{x,y}) = M_{x,y} \quad (8)$$

$$-B_1 \Delta_x^2 \theta_{x-1,y} + 2K_2 (6\theta_{xy} + \Delta_y^2 \theta_{x,y-1} - \frac{3}{\lambda_y} \Delta_y \delta_{x,y-1}) = M'_{x,y} \quad (9)$$

$$\begin{aligned} \frac{6K_1}{\lambda_x} (\Delta_x \theta_{x-1,y} - \frac{3}{\lambda_x} \Delta_x^2 \delta_{x-1,y}) \\ + \frac{6K_2}{\lambda_y} (\Delta_y \theta_{x,y-1} - \frac{3}{\lambda_y} \Delta_y^2 \delta_{x,y-1}) = g_{x,y} \end{aligned} \quad (10)$$

ここで、

$\theta_{xy}, \theta_{x,y}$ ; せん断角、 $x, y$  軸回りの回転角 at  $(x, y)$

$\delta_{xy}$ ; 挽み at  $(x, y)$

$M_{x,y}, M'_{x,y}$ ; せん断、 $x, y$  方向の外力モーメント at  $(x, y)$

又、

$$\Delta f_{x-1} = f_{x+1} - f_{x-1}, \quad \Delta^2 f_{x-1} = f_{x+1} - 2f_x + f_{x-1}$$

(8)~(10) K. Fourier 逆変換を施し、境界条件を 4 边 simple support とし、更に  $B_{10} = B_1/2, B_{20} = B_2/2$  とする。

$$\{2K_1(b-Dim) + B_2 D_{jn}\} \Theta_{ij} - \frac{12K_1}{\lambda_x} \sin \frac{i\pi}{m} \cdot \Delta_{ij} = C_i S_j [M_{x,y}] \quad (11)$$

$$\{2K_2(b-Dim) + B_1 D_{jn}\} \Theta'_{ij} - \frac{12K_2}{\lambda_y} \sin \frac{j\pi}{n} \cdot \Delta_{ij} = S_i C_j [M'_{x,y}] \quad (12)$$

$$- \frac{12K_1}{\lambda_x} \sin \frac{i\pi}{m} \cdot \Theta_{ij} - \frac{12K_2}{\lambda_y} \sin \frac{j\pi}{n} \cdot \Theta'_{ij} + \left\{ \frac{12K_1}{\lambda_x^2} Dim + \frac{12K_2}{\lambda_y^2} D_{jn} \right\} \Delta_{ij} = S_i S_j [g_{x,y}] \quad (13)$$

ここで、 $C_i S_j$  は cosine sine 変換、 $S_i C_j$  は sine cosine 変換、 $S_i S_j$  は sine sine 変換を表す。

又、

$$Dim = Z(1 - \cos i\pi/m)$$

$$D_{jn} = Z(1 - \cos j\pi/n)$$

$$\Theta_{ij} = C_i S_j [\theta_{xy}] + \frac{1}{Z} (-1)^i S_j [\theta_{y,x}] + \frac{1}{Z} S_i [\theta_{x,y}]$$

$$\Theta'_{ij} = S_i C_j [\theta_{xy}] + \frac{1}{Z} (-1)^j S_i [\theta'_{x,n}] + \frac{1}{Z} S_i [\theta'_{x,0}]$$

$$\Delta_{ij} = S_i S_j [\delta_{xy}]$$

(11)~(13) を逆変換する。

$$\theta_{x,y} = \frac{4}{mn} \sum_{i=1}^{m-1} \sum_{j=1}^{n-1} \Theta_{ij} \cos \frac{i\pi x}{m} \sin \frac{j\pi y}{n} + \frac{Z}{mn} \sum_{j=1}^{n-1} \Theta'_{0j} \sin \frac{j\pi y}{n} + \frac{Z}{mn} \sum_{i=1}^{m-1} (-1)^i \Theta_{mj} \sin \frac{i\pi x}{m} \quad (14)$$

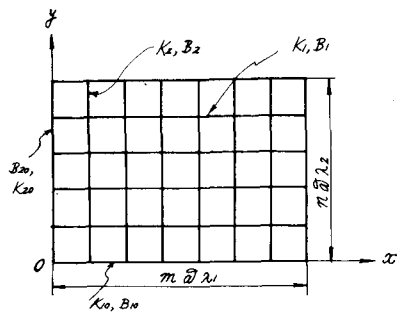


Fig. 1 Plan of grid plate

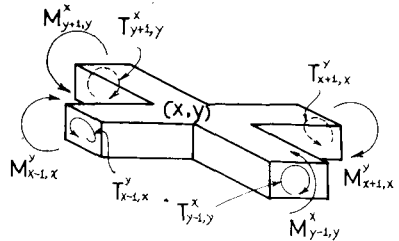


Fig. 2 Moment at  $(x, y)$

$$\theta'_{xy} = \frac{4}{mn} \sum_{i=1}^{m-1} \sum_{j=1}^{n-1} \theta'_{ij} \sin \frac{i\pi x}{m} \cos \frac{j\pi y}{n} + \frac{2}{mn} \sum_{i=1}^{m-1} \theta'_{0i} \sin \frac{i\pi x}{m} + \frac{2}{mn} \sum_{i=1}^{m-1} (-1)^i \theta'_{i0} \sin \frac{i\pi x}{m} \quad (15)$$

$$\delta_{xy} = \frac{4}{mn} \sum_{i=1}^{m-1} \sum_{j=1}^{n-1} \Delta_{ij} \sin \frac{i\pi x}{m} \sin \frac{j\pi y}{n} \quad (16)$$

(14)～(16)より、 $\theta_{xy}$ ,  $\theta'_{xy}$ ,  $\delta_{xy}$  が求まる。則ち、Object structure で K の Residual をとり、Fourier 变換して、(14)～(16)より Residual K は  $\theta_{xy}$ ,  $\theta'_{xy}$ ,  $\delta_{xy}$  が求まり、それを Object structure K に入し、復算を繰り返すことでより最終的な結果を得る。

### 3 數値計算例

Fig. 3, Fig. 4 K で示す A, B 2種のグリッドフレームを解析例とし、それを  $30^\circ$ ,  $60^\circ$ ,  $90^\circ$  K 曲折した場合を考える。

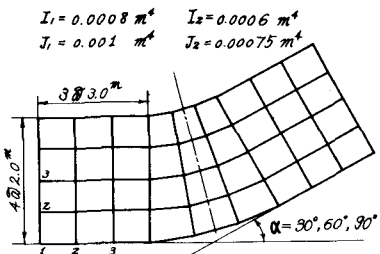


Fig. 3 Object Structure A

I, J は A と同じ

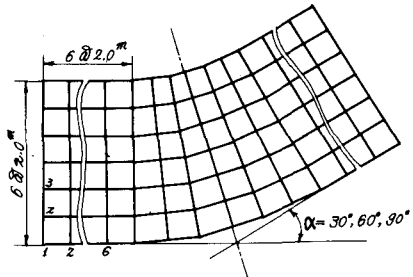


Fig. 4 Object Structure B

#### 3-1 Object Structure A の場合

Model structure K は、Fig. 1 を参照して、

$$m \times n = 9 \times 4$$

$$\lambda_1 = 3.0 \text{ m}, \lambda_2 = 2.0 \text{ m}$$

I, J は Object structure と同じとし、又、荷重位置は

$$(A-1) = \text{格差 } (5, 3) \text{ and } (6, 3)$$

$$(A-2) = \text{格差 } (5, 3)$$

$$(A-3) = \text{格差 } (3, 3)$$

の 3通りである。

計算結果を Fig. 5 ～ Fig. 11 K で示す。

Fig. K は最も収束の悪い角を進んで示してあるが、 $90^\circ$  の場合でも 7 ～ 8 回で収束してから、二の場合、網面の全体の剛性が非常に類似していると言え。

#### 3-2 Object Structure B の場合

$$m \times n = 18 \times 4$$

$$\lambda_1 = \lambda_2 = 2.0 \text{ m}$$

荷重位置は、格差 (10, 4)

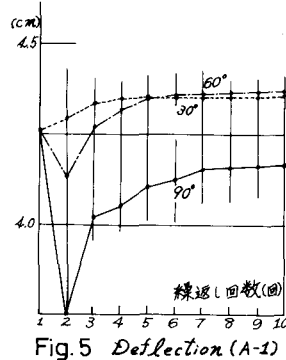


Fig. 5 Deflection (A-1)  
at (5, 3)

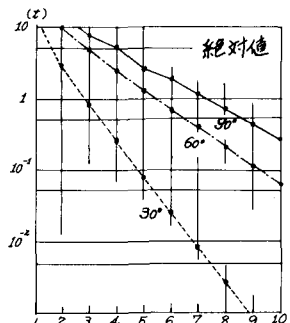


Fig. 6 Residual g(5, 3)  
(A-1)

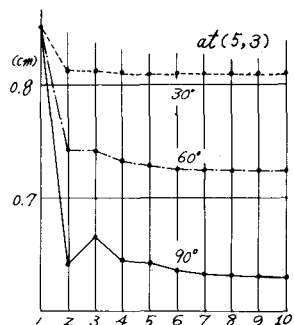


Fig. 7 Deflection (A-3)  
at (5, 3)

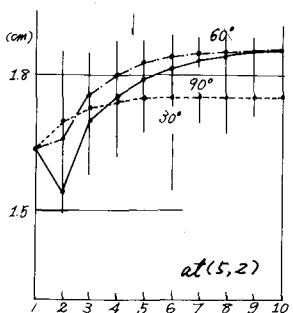


Fig. 8 Deflection (A-2)  
at (5, 2)

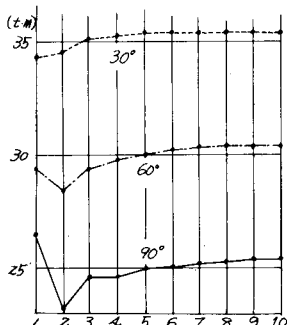


Fig. 9  $M_{5,6}^{y=3}$  (A-1)

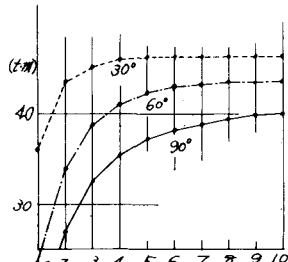


Fig. 10  $M_{5,6}^{y=3}$  (A-2)

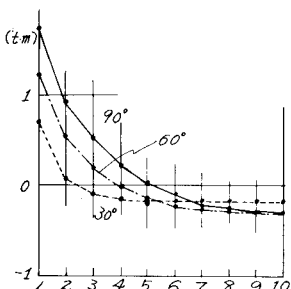


Fig. 11  $T_{5,6}^{y=3}$  (A-2)

計算結果を Fig. 12~Fig. 16 に示す。

ただし、Fig. 12~Fig. 14 は、Model structure の I, J と Object structure の y が 1 倍、2 倍と 1 歳場合の収束の様子で、Fig. 15, Fig. 16 は、Model structure の I, J を変化させた場合の収束、発散の様子を示す。

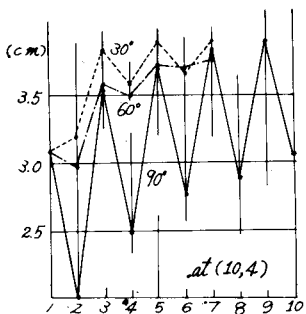


Fig. 12 Deflection (B)

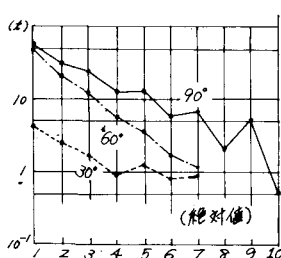


Fig. 13 Residual  $g(10,4)$  (B)

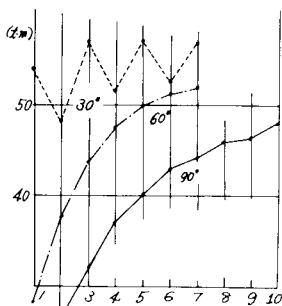


Fig. 14  $M_{10,11}^{y=4}$  (B)

Aの場合と比べ収束は緩慢であり  
長い剛性の Model structure とは云  
えねいかが、長い Model st. を見い出す  
ことは可能であると見てみる。

#### ▲ もうすぐ

本報告計算法によると、膨大な大きさの剛性マトリックスの宣言が不要であり、又、Fourier 变換と逆変換を施すことにより、array 用 core 領域をかなり小さくでき、少容量の電子計算機に向く解析法といえる。

この利点の反面、格差数が多くなる傾向、直接解析の場合より計算時間が多く費さざると認められ、また長い剛性の Model structure を選ぶといつ美が一つの課題である。

尚、連立方程式を用いて直接解析した場合との具体的な比較は、現在計算検討中である。

参考文献 (1) S.G.Nomachi; On a stress analysis of Grid Plate by Finite Fourier Transforms concerning Finite Integration (Proceeding of Sixteenth Japan National Congress for Applied Mechanics 1966)

(2) S.G.Nomachi; A Note of Finite Fourier Transforms concerning Finite Integration (Trans. num. Muoreen I.T. Vol.5 No.2)

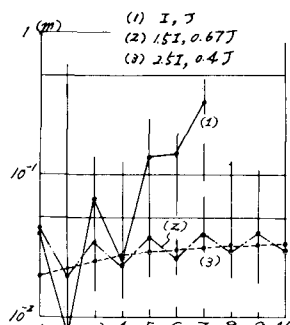


Fig. 15 Deflection (B) at (10,4)

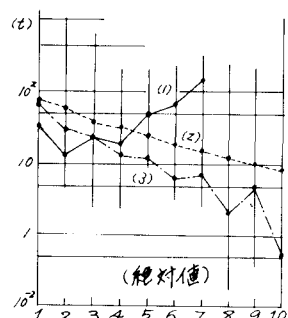


Fig. 16 Residual  $g(10,4)$